



بررسی کانه‌زایی و ژئوشیمی کانسار آهن ده‌زمان، (جنوب غرب بردskن) و مقایسه‌ی آن با کانسارهای آهن نواری

بابک ایمان‌پور، محمدحسن کریم‌پور^{*}، آزاده ملک‌زاده شفارودی

گروه پژوهشی اکتشافات معدنی شرق ایران، دانشگاه فردوسی مشهد

(دریافت مقاله: ۹۴/۱۰/۱۵، نسخه نهایی: ۹۵/۲/۶)

چکیده: کانسار آهن ده‌زمان در جنوب غرب شهرستان بردskن از توابع استان خراسان رضوی قرار دارد. این منطقه در نقشه‌ی ساختاری ایران در شمال شرق پشت‌بادام قرار گرفته است. کانه‌زایی در این کانسار به صورت نوار هماتیتی به ضخامت ۶ متر و طول ۱/۵ کیلومتر است که در راستای شرقی- غربی، هم‌شیب و هم‌راستا با سنگ‌های رسوبی دگرگون شده پرکامبرین قرار گرفته است. شواهد صحرایی مانند حضور یکپارچه‌ی کانی هماتیت، نوارهای نازک هماتیتی به صورت متناوب درون واحدهای رسوبی دگرگون شده، عدم وجود دگرسانی، همراهی ذرات هماتیت با بلورهای موسکوویت، وجود قطعات و سنگ‌های بیگانه درون نوار کانه‌زایی، تشکیل این کانسار را به صورت رسوب بروزداد آهن در محیطی دریابی و با عملکرد فرآیندهای رسوبی، مشخص ساخت. همچنین بررسی‌های ژئوشیمیایی به روش ریزپردازش الکترونی روی کانسنگ هماتیتی و مقایسه‌ی عناظر Ca, Ti, Mn, Al, V و اکسیدهای اصلی در نمونه‌های کانسار آهن ده‌زمان با کانسارهای دیگر آهن نواری، شباختهایی را نشان داد. کاهش Si در نمونه‌های کانسار آهن ده‌زمان را که با شواهد صحرایی آثار ناچیز لایه‌های چرتی همخوانی دارد، می‌توان در ارتباط با رسوب آهن در محیط دریابی نزدیک به ساحل و با فاصله از خاستگاه در نظر گرفت.

واژه‌های کلیدی: کانی‌سازی؛ ریزپردازندۀ الکترونی؛ هماتیت؛ کانسارهای آهن نواری؛ کانسار آهن ده‌زمان.

سولفید تودهای نیز گزارش شده‌اند [۲]. نوع فرازین در بازه‌ی زمانی پالئوپرتوزوئیک (۲/۵ تا ۲ میلیارد سال) روی سکوهای قاره‌ای و بخش پایدار سواحل قاره‌ای تشکیل شده‌اند و با سنگ‌های شیل، دولومیت و کوارتزیت همراهند [۱-۲]. بر اساس نوع کانی‌های آهن‌دار، چهار رخساره اکسیدی (کانی‌های هماتیت، مگنتیت) کربناتی (کانی‌های سیدریت و آنکریت) سیلیکاتی (کانی‌های استیپنوملان و می‌نسوتیت) و سولفیدی (کانی‌های پیریت و پیروتیت) برای ذخایر نوع آلگوما و فرازین شناخته شده است که در اثر تغییرات Eh در اعمق مختلف تشکیل شده‌اند. در نوع فرازین عموماً رخساره سولفیدی مشاهده نمی‌شود [۲]. کانسارهای آهن نواری نوع راپیتان در بازه‌ی زمانی نئوپرتوزوئیک (۸۰۰ تا ۵۰۰ میلیون سال) و در

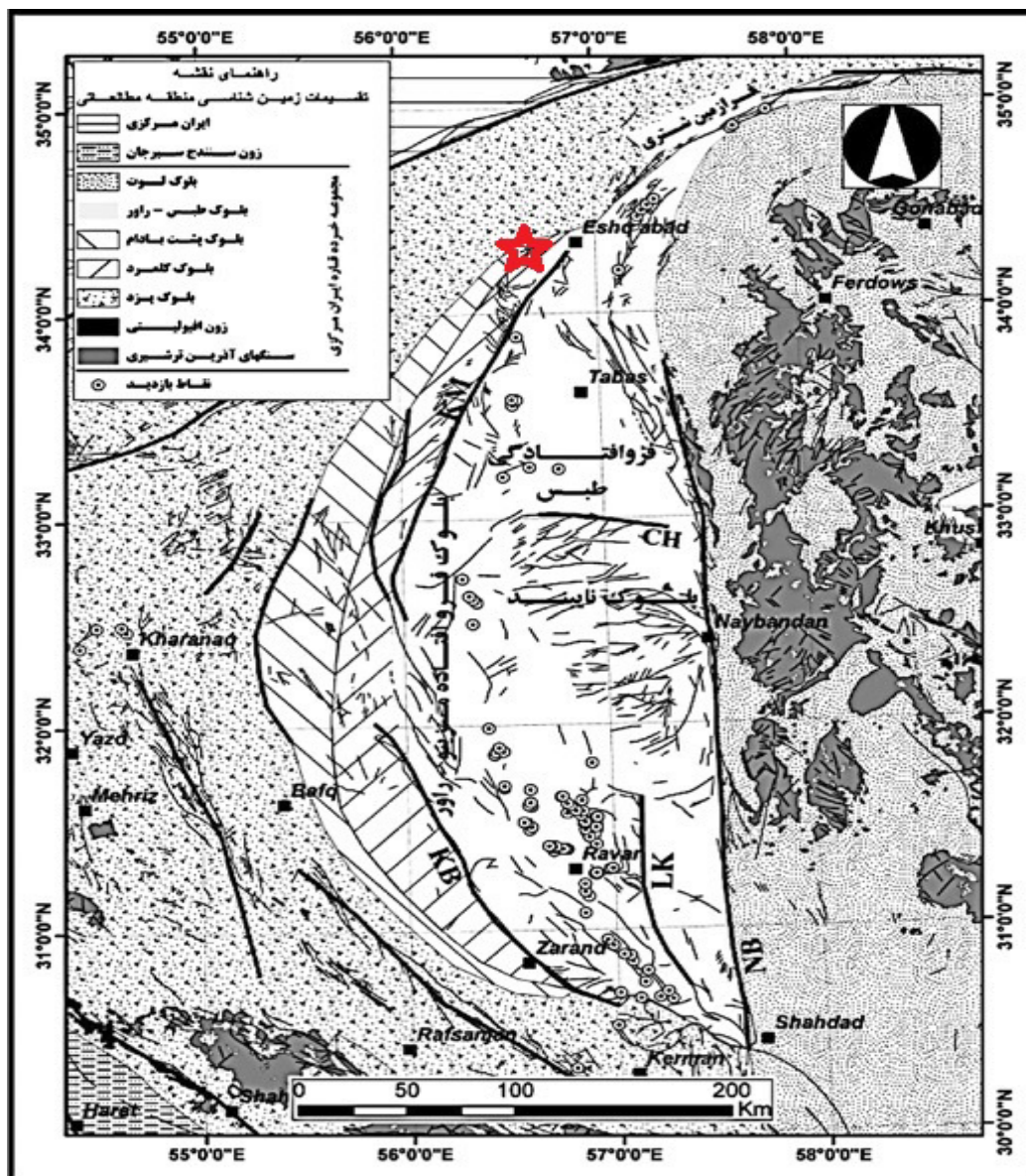
مقدمه کانسارهای آهن نواری مهمترین خاستگاه آهن هستند و در سه برده زمانی متفاوت در پرکامبرین به انواع آلگوما، سوپریور و راپیتان تقسیم می‌شوند. نوع آلگوما در بازه‌ی زمانی آرکن (۳/۸ تا ۳ میلیارد سال) و در کمانهای ماقمایی وابسته به کمربندهای گرین استون آرکن یافت می‌شوند [۱]. مجموعه سنگ‌های همراه در این نوع بیشتر از سنگ‌های آتشفسانی زیردریابی اسیدی تا حدواسط، ماسه‌سنگ و گریوک‌ها تشکیل شده‌اند [۲] که به صورت دنباله همراه با لایه‌های آهن و چرت مشاهده می‌شوند [۳]. خاستگاه آهن در این نوع می‌تواند محلول‌های کانه‌دار حاصل از فعالیت‌های آتشفسانهای زیردریابی باشد. این نوع گاهی در حاشیه و با فاصله از ذخایر

*نویسنده مسئول، تلفن: ۰۵۱۳۸۸۰۴۰۵۱، نامبر: ۰۵۱۳۸۷۶۶۴۱۶، پست الکترونیکی: karimpur@um.ac.ir

آهن نواری مورد بحث بوده و نظرهای گوناگونی نیز ارائه شده است، ولی بررسی‌هایی عناصر نادر خاکی در رسوب‌های آهن‌دار و لایه‌های چرت و ژاسپر، نقش محلول‌های گرمابی غنی از آهن و سیلیکات‌ها را که از مناطق عمیق وارد حوضه آبهای کم‌عمق می‌شوند، پررنگ‌تر ساخته است [۳].

منطقه دهستان در جنوب غربی شهرستان بردسکن و در حد فاصل طول‌های جغرافیایی $40^{\circ} 40' 57''$ تا $47^{\circ} 00' 57''$ و عرض‌های جغرافیایی $30^{\circ} 30' 57''$ تا $34^{\circ} 20' 57''$ شمالی قرار گرفته است. از دیدگاه زمین‌ساختاری این گستره در منتهی الیه شمال شرقی منطقه‌ی زمین‌ساختی شده‌ی پشت‌بادام قرار می‌گیرد (شکل ۱).

ارتباط با رسوب‌های یخچالی، و زمانی که زمین در شرایط توپ‌برفی بود، تشکیل شده‌اند [۱]. این کانسارها به همراه دنباله‌های از رسوب‌های آواری، ماسه‌سنگ‌ها، شیل‌ها، مادستون‌ها و رسوب‌های یخچالی (تیلایت‌ها و میکستایت‌ها) شناخته می‌شوند [۳]. در کانسارهای آهن نواری نوع راپیتان کانسنگ اصلی را همایت تشکیل می‌دهد و رخساره‌های دیگر آهن نواری (رخساره کربناتی، سولفیدی و سیلیکاتی) دیده نمی‌شوند. این سادگی کانی‌شناسی نسبت به کانسارهای آهن نواری آرکئن و پالئوپروتروزوئیک به وجود محدود کربن آلی اقیانوس‌های خنک نئوپروتروزوئیک و کاهش دیازنتیکی آهن وابسته می‌دانند [۴]. تاکنون خاستگاه آهن برای کانسارهای



شکل ۱ نقشه‌ی تقسیمات ساختاری ایران مرکزی [۵] و موقعیت منطقه دهستان.

فرانسه با ولتاژ ۱۵KEV (برای اکسیدهای اصلی آهن) و جریان ۲۰nA و زمان شمارش ۱۵ الی ۲۰ ثانیه مورد بررسی قرار گرفتند. به منظور جلوگیری از ایجاد تداخل شیمیایی برای عناصر V, Ti، این دو عنصر جدا از هم آنالیز شدند و در نمودارهای مربوطه تصحیحات لازم انجام گرفت.

زمین‌شناسی

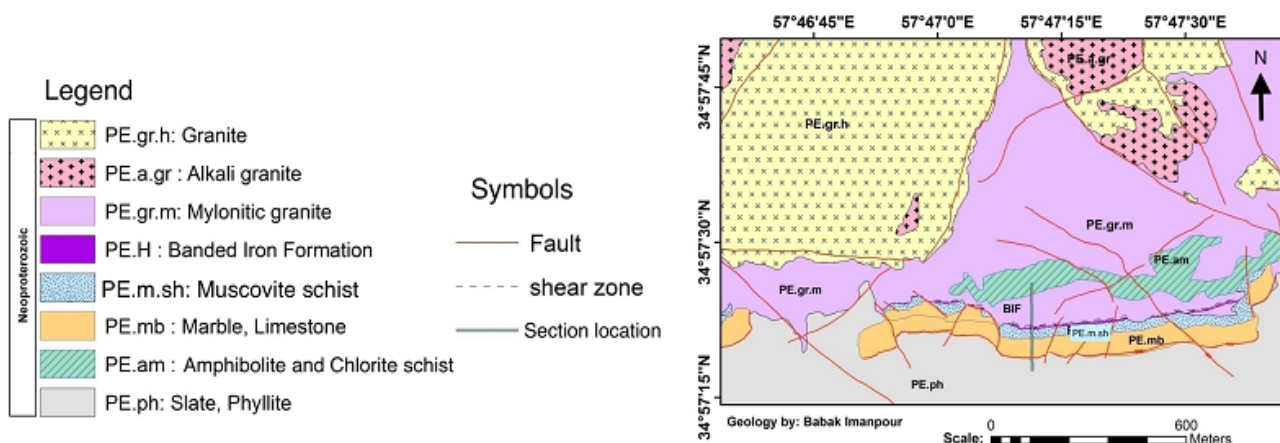
منطقه‌ی پشت‌بادام نوار باریک و خمیده‌ای است که در بخش غربی خردقاره ایران مرکزی و بین بلوك کلمرد در غرب و بلوك يزد در شرق قرار گرفته است. روند عمومی منطقه‌ی پشت‌بادام در بخش شمالی ایران مرکزی، شمال شرقی-جنوب غربی است. حرکت‌های راستالغز راستیر با مولفه‌ی فشارشی در گسل‌های کنترل کننده‌ی این پهنه، باعث راندگی‌ها و رخمنون پی‌سنگ پرکامبرین ایران مرکزی در بخش‌هایی از این منطقه، به خصوص شمال شرقی آن شده است [۵]. منطقه‌ی ده‌زمان در منتهی‌ی الیه شمال شرقی منطقه‌ی پشت‌بادام قرار دارد (شکل ۱). بخش جنوبی این منطقه را رخمنون‌های سنگی شامل، مجموعه‌ی دگرگونی اسلیت و فیلیت (Pph) و دنباله‌ی واحدهای رسوبی دگرگون شده (Pm.sh و Pmb) منسوب به پرکامبرین تشکیل می‌دهند [۶]. این دنباله‌ها طی آخرین شکل‌گیری‌های منطقه در اثر گسل‌های فرعی و به پیروی از نفوذ توده‌های آذرین اسیدی (گرانیت هولولوکوکرات) از روند عمومی منطقه‌ی پشت‌بادام جدا شده و در راستای شرقی غربی قرار گرفته‌اند. در پی این حرکت‌ها شیب واحدهای رسوبی دگرگون شده نیز به سمت شمال برگشتگی باقته موجب بروزد نوار کانه‌زایی اصلی به صورت عضوی از دنباله‌های رسوبی شده است (شکل ۲). در شمال منطقه‌ی ده‌زمان دو نوع توده گرانیتی حضور دارند. توده‌ی قلیایی گرانیت صورتی رنگ (Pgr.m) که به علت عملکرد گسل‌های عمیق در درجات مختلف از کم تا زیاد میلونیتی شده و توده‌ی گرانیت هولولوکوکرات (Pgr.h) که در راستای گسل‌های فرعی، درون توده‌ی گرانیت قلیایی تزریق شده است. برای دید بهتر و بررسی روابط بین دنباله‌ی سنگ‌های رسوبی دگرگون شده، نوار کانه‌زایی و توده‌ی گرانیت قلیایی میلونیتی شده، ستون سنگ-شناختی عمود بر روند این واحدها رسم و بررسی شد (شکل ۳). قدیمی‌ترین سنگ‌های منطقه ده‌زمان را مجموعه‌ی دگرگون شده‌ای از اسلیت و فیلیت با میان لایه‌هایی از متاگریوک و شبه ماسه سنگ تشکیل می‌دهند که در جنوب و شرق گستره گسترش دارند (شکل ۲).

این منطقه به وسیله گسل پوشیده‌ی نایینی-کوهبنان در شرق و گسل پشت‌بادام در غرب کنترل می‌شود. نکته‌ی اساسی این بلوك، رخمنون‌های دگرگونی منسوب به پرکامبرین است که بیشتر از نوع سنگ‌های آتش‌شانی و آذرآواری به همراه مرمرهای آهکی و دولومیت است [۵]. در نقشه ۱:۰۰۰۰۰ قاسم‌آباد [۶] سن ماقماتیسم گرانیتی منطقه‌ی کوهسره‌نگی ۶۲۹ تا ۶۲۹ میلیون سال گزارش شده است و مجموعه‌های دگرگون و نوارهای کربناتی دگرگون شده ده‌زمان بر اساس جایگاه چینه‌شناسی در گستره‌ی زمانی پرکامبرین قرار گرفته‌اند. همچنین در پژوهش‌های جدید [۷] مجموعه‌ی گرانیت‌های کوه سره‌نگی به روش اورانیوم-سرب درجا روی کانی زیرکن سال‌سنگی شده است و گستره‌ی سنی ۵۳۰ تا ۵۶۰ میلیون سال را نشان می‌دهد، که مطابق با زمان نشوپرتوزوؤیک پسین در ایران مرکزی است. در این میان، کانه‌زایی در گستره‌ی ۵-۱/۵ زمان به صورت نوار هماتیتی با ضخامت ۶ متر و طول کیلومتر، هم‌شیب و هم‌راستا با سنگ‌های رسوبی دگرگون شده پرکامبرین قرار گرفته است. خاستگاه و چگونگی تشکیل این نوار بحث انگیز بوده و در بررسی‌های انجام شده قبلی [۸] با توجه به شواهد صحرایی، نوار کانه‌زایی هماتیتی کانسار آهن ده‌زمان، یک کانسار رسوبی و همزاد با دنباله‌ی رسوبی-آتش‌شانی سیلورین معرفی شده است. در این نوشتار سعی شده تا با تأکید بر شواهد صحرایی و بررسی‌های کانه‌زایی و نیز بررسی‌های ریزپردازندۀ الکترونی کانه‌ی اصلی (هماتیت)، خاستگاه و چگونگی تشکیل نوار کانه‌زایی هماتیتی در کانسار آهن ده‌زمان مشخص شود.

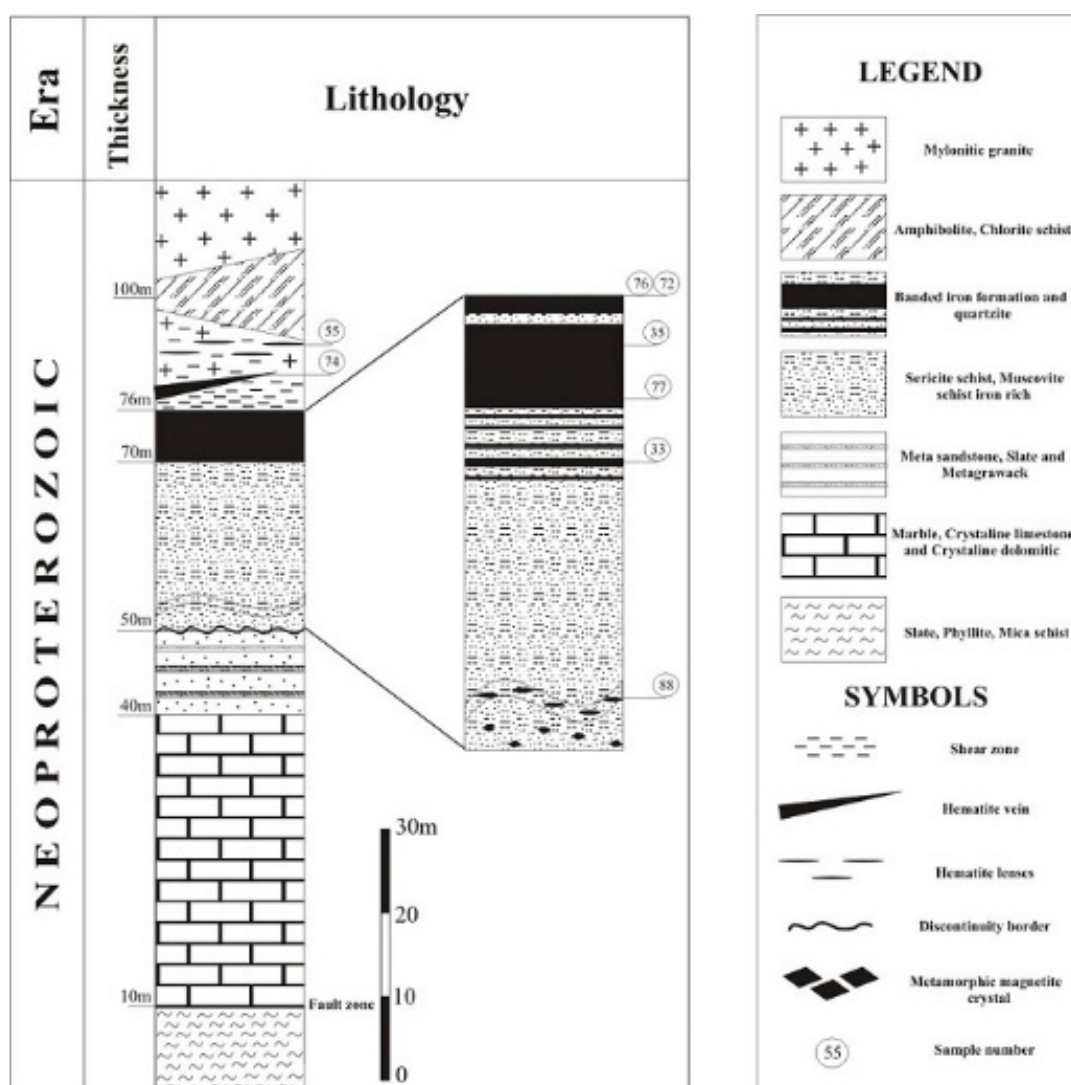
روش بررسی

پس از بررسی‌های مقدماتی و بررسی عکس‌های هوایی و نقشه‌های تهیه شده، در پیمایش‌های صحرایی و بررسی‌های میدانی، ۳ مقطع زمین‌شناسی، عمود بر راستای واحدهای رسوبی پرکامبرین و نوار کانه‌زایی اصلی برای نمونه‌برداری و تهیه‌ی ستون چینه‌ای انتخاب شدند. پس از مقایسه و تطابق واحدهای مختلف، یک ستون چینه‌ای رسم و در مجموع ۴۰ مقطع نازک و نازک صیقلی و ۱۵ مقطع صیقلی تهیه و بررسی شدند. همچنین ۱۳ مقطع نازک صیقلی و صیقلی از بخش‌های مختلف انتخاب و به منظور بررسی‌های ریز پردازش الکترونی به مرکز تحقیقات و فرآوری مواد معدنی ایران در کرج، ارسال شدند. در این مرکز، ۳۳ نقطه برای تعیین عناصر فرعی و اکسیدهای اصلی از کانی هماتیت با استفاده از ریزپردازندۀ الکترونی (الکترون میکروپریو) مدل Cameca-sx100 ساخت

Geologic map of Dehzaman deposite



شکل ۲ نقشه‌ی زمین‌شناسی منطقه و موقعیت مقطع زمین‌شناسی منطقه‌ی دزمان.



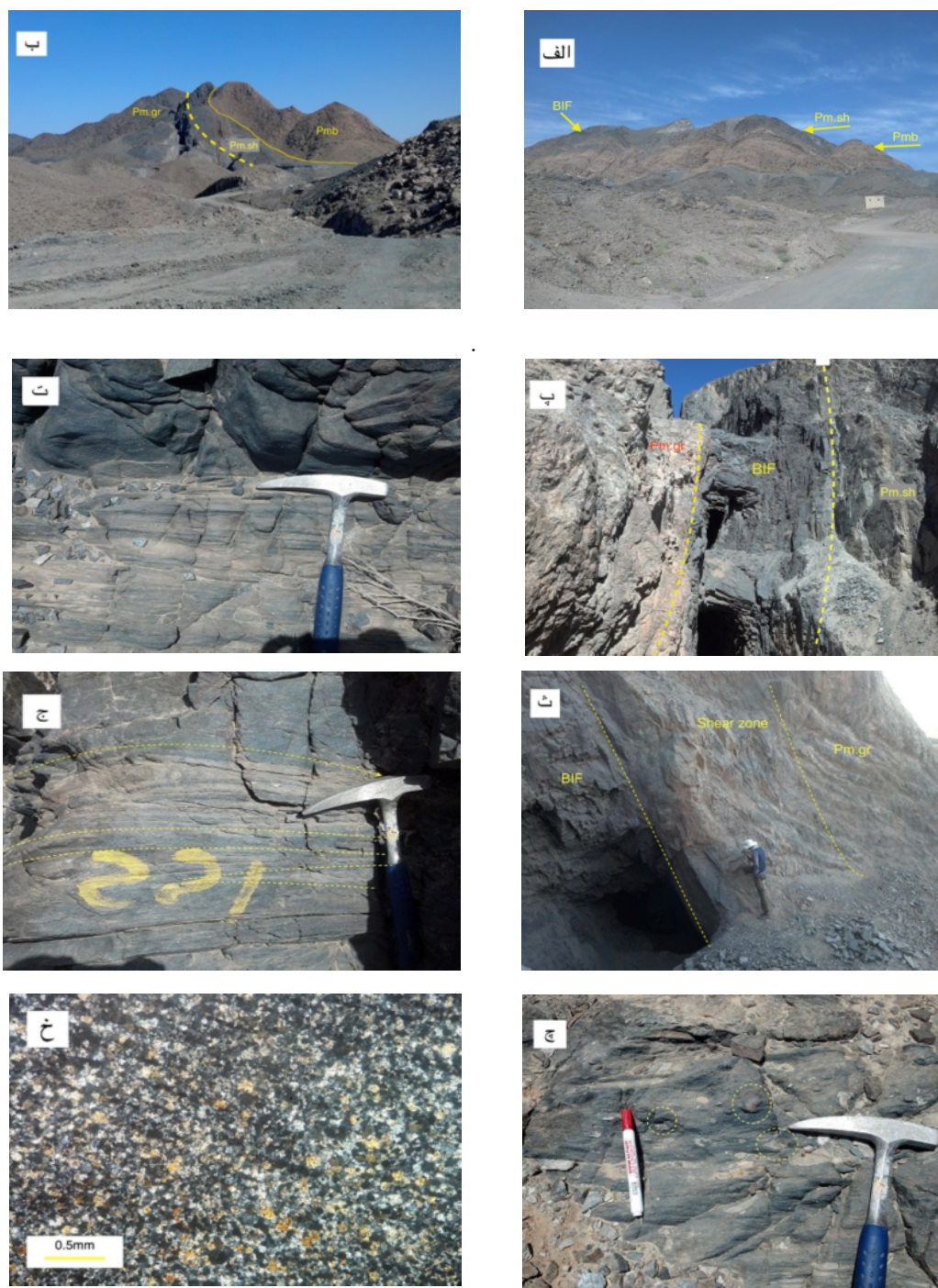
شکل ۳ ستون سنگ‌شناسی کانسار آهن ده‌زمان به همراه موقعیت نمونه برداری‌ها.

(شکل ۴ ث). سمتگیری و پولکی شدن هماتیت‌ها در نتیجه‌ی دگرگونی ناحیه‌ای و عملکرد گسل‌ها در منطقه‌ی برشی میان واحد گرانیت قلیایی میلیونیتی شده و نوار کانه‌زایی است. کانسنگ تماماً از پولک‌های ریز (۳ تا ۵ میلی‌متری) و سست هماتیت تشکیل شده است که زیر میکروسکوپ با نور بازتابی با IR گوشاهای سرخ رنگ و ناهمسانگرد خاکستری تا سرمه‌ای دیده می‌شوند. نوار کانه‌زایی اصلی از جنوب به سمت شمال شامل ۴ بخش زیر است: ۳۶۰-۱ سانتی‌متر ماده‌ی معدنی پر عیار که از هماتیت پولکی (اولوژیست) تشکیل شده است. گاهی در این بخش لایه‌های نازک چرت نیز دیده می‌شود. ۲-۲۲۰ سانتی‌متر ماده‌ی معدنی به همراه عدسی‌ها و لایه‌هایی از شیسته‌ها (شکل ۴ ج). در بخش‌هایی از آن، قطعات مختلفی از سنگ‌های دگرگون و کوارتزیت با اندازه‌های متفاوت (۱ تا ۵ سانتی‌متر) در میان ماده‌ی معدنی یافت شد که شبیه قطعه سنگ‌های بیگانه در رسوب‌های یخچالی و یا در میان رسوب‌ها و لایه‌های هماتیتی در کانسارهای آهن نواری نوع راپیتان هستند. به‌نظر می‌رسد که این سنگ‌ها، قطعات آواری حمل شده به وسیله‌ی یخچال‌ها از خارج حوضه باشد که با شروع گرم شدن زمین و ذوب یخچال‌ها، پهنه‌های یخی شناور سطح دریا این قطعات را به درون رسوب‌های کف رها کرده‌اند (شکل ۴ ج). این سنگ‌ها تماماً از ذرات به هم فشرده کوارتز و کانی‌های کدر، با حاشیه‌ی بریده بریده تشکیل شده‌اند (شکل ۴ خ). ۳-۸۰ سانتی‌متر ماده‌ی معدنی پر عیار. ۴-۱۵ سانتی‌متر مرز میلیونیتی و بسیار متورق. بافت ماده‌ی معدنی در نوار کانه‌زایی اصلی، مانند ماسه‌سنگ‌ها و سنگ‌های رسوبی آواری است، به طوری که ذرات و دانه‌های هماتیت در میان سیمانی از ذرات آواری دیگر قرار گرفته‌اند (شکل ۵ الف). ذرات آواری (کوارتز و فلدسپار) به سمت واحد موسکوویت شیست افزایش می‌باید (شکل ۵ ب) و به سمت واحد گرانیت میلیونیتی شده از میزان ذرات آواری کاسته و بر تراکم و نظم پولک‌های هماتیتی افزوده می‌شود. لایه‌های نازک هماتیتی با ضخامت‌های متفاوت (۰/۵ تا ۳ سانتی‌متر) پس از نوار کانه‌زایی اصلی درون واحد موسکوویت شیست ادامه دارند و همراهی کانی موسکوویت در راستای این نازک لایه‌های هماتیتی، جلب توجه می‌کند (شکل ۵ پ). به طور کلی بلورهای کشیده هماتیت به صورت پراکنده در متن سنگ و در تمام ضخامت‌های واحد موسکوویت شیست وجود دارند.

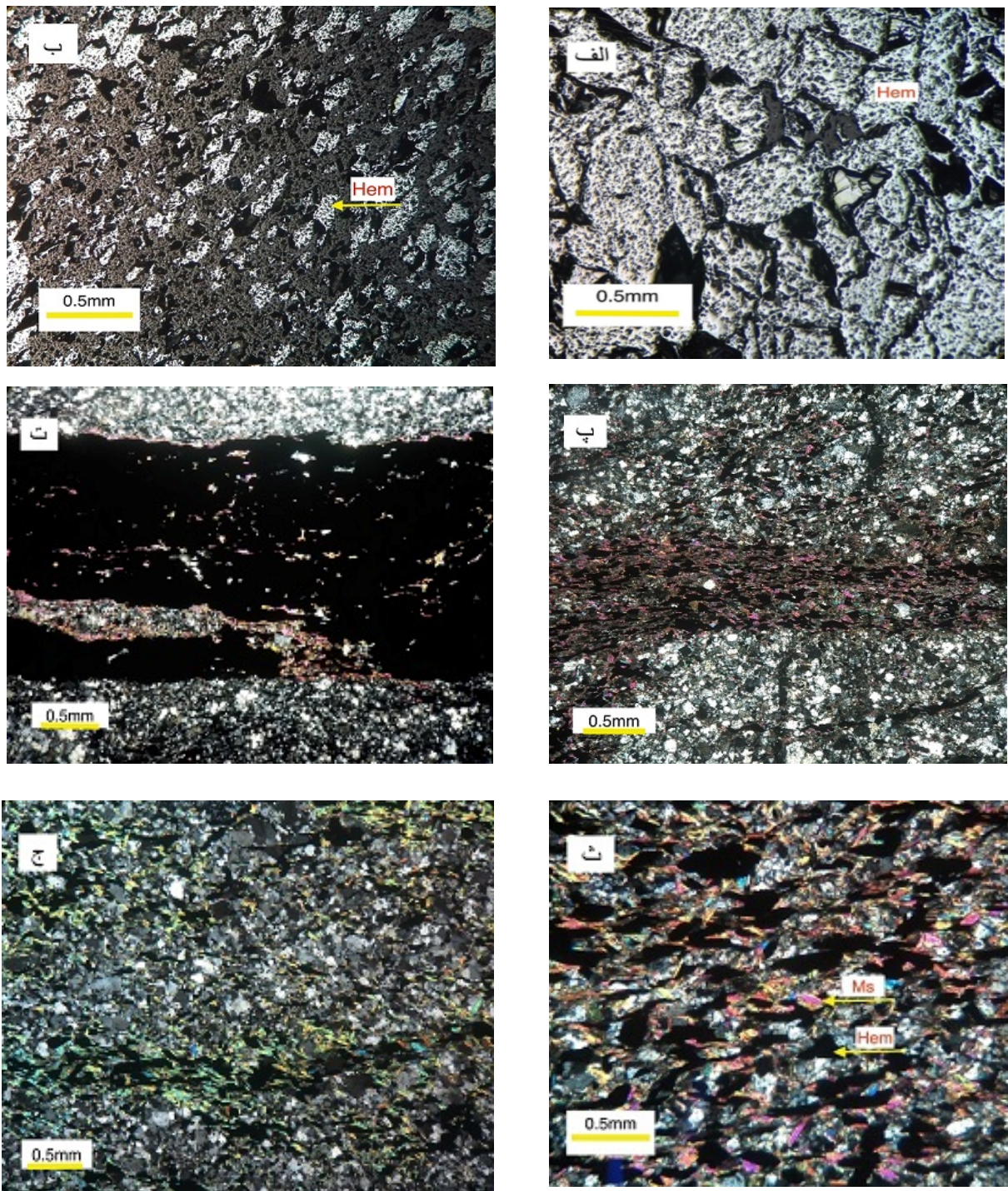
با توجه به تریق توده‌ی گرانیت قلیایی با سن ۵۳۰ تا ۵۶۰ میلیون سال [۷] به درون این مجموعه‌ی دگرگونی، بنظر می‌رسد این واحد سنگی از سازند سلطانیه کهن‌تر باشد [۶]. دنباله‌ی سنگ‌های رسوبی دگرگون شده با ضخامت ۴۰ متر، مشتمل از ردیفهای کربناته بلورین، مرمر، دولومیت و عضو ماسه سنگ‌های کربناتی آجری با روند شرقی غربی در منطقه رخمنون داشته و با مجموعه‌ی دگرگون زیرین مرزی گسلی دارد (شکل ۴ الف). روی این واحد کربناتی و همشیب با آن، حدود ۲۰ متر از سنگ‌های شیستی و موسکوویت شیسته‌ای تیره آهن‌دار قرار دارد (شکل ۴ ب). وجود آثار لایه‌بندی و ساختارهای رسوبی، مانند ریپل‌مارک‌ها در این واحد، نشان از رسوبی بودن پروتولیت اولیه این دگرگونهای دارد. نوار کانه‌زایی هماتیتی، بین واحد موسکوویت شیسته‌ای تیره در جنوب، و واحد گرانیت قلیایی میلیونیتی شده در شمال قرار گرفته‌اند. این نوار را می‌توان به صورت عضوی همشیب و پیوسته در انتهای واحد موسکوویت شیسته‌ای تیره در نظر گرفت (شکل ۴ پ). مرز نوار کانه‌زایی با واحد گرانیت قلیایی میلیونیتی شده به صورت یک منطقه‌ی برشی است (شکل ۴ ث). عملکرد این منطقه باعث میلیونیتی شدن گرانیت‌ها و دگرگونی و سمتیابی پولک‌های هماتیتی در نوار کانه‌زایی اصلی شده که با فاصله از این مرز، از شدت میلیونیتی شدن نیز کاسته می‌شود. در راستای منطقه‌ی برشی و درون واحد گرانیت قلیایی میلیونیتی شده، گوهه‌هایی از کلریت شیست و سنگ‌های آمفیبولیت به شدت متورق وجود دارند (PAm) که بنظر می‌رسد بازمانده‌های زمین ساختی دنباله‌ی رسوبی در گرانیت‌ها باشند (شکل ۳).

کانه‌زایی

کانه‌زایی در منطقه ده‌زمان به صورت نواری با کانسنگ هماتیتی و ضخامت متوسط ۶ متر و طول ۱/۵ کیلومتر است. این نوار در راستای شرقی-غربی و با شیب ۸۰ درجه به سمت شمال، همشیب با دنباله‌های رسوبی و دگرگون شده پر کامبرین قرار گرفته است (شکل ۴ پ). این نوار بین دو واحد سنگی متفاوت قرار دارد. مرز پایین (جنوبی) این نوار با واحد موسکوویت شیسته‌ای تیره آهن‌دار تدریجی و همشیب است، موسکوویت شیسته‌ای تیره کانه‌زایی هماتیتی تا فاصله‌ی ۵ متری به‌طوری که تناوب نازک لایه‌های هماتیتی پس از نوار کانه‌زایی اصلی درون واحد موسکوویت شیسته‌ها ادامه دارد (شکل ۴ ت). مرز بالایی (شمالي) نوار کانه‌زایی اصلی با واحد گرانیت میلیونیتی شده به صورت یک منطقه‌ی برشی تعريف می‌شود و به شدت میلیونیتی شده و متورق است



شکل ۴ الف: رخنمون اصلی و سیما ساز واحد کربناتی و واحد موسکوویت شیست که با مجموعه‌ی دگرگونی زیرین مرزی گسلی دارند (دید به سمت شمال غرب)، ب: رخنمون واحد کربناتی و موسکوویت شیست‌ها که به صورت برگشته با واحد گرانیت‌های – قلیایی میلونیتی شده مرزی گسلی دارند، (دید به سمت شرق)، پ: نوار کانه‌زایی اصلی به صورت همشیب و پیوسته با واحد موسکوویت شیست و مرز گسله و میلونیتی با واحد گرانیت‌های قلیایی میلونیتی شده (دید به سمت شمال شرق)، ت: مرز واحد موسکوویت شیست با نوار کانه‌زایی اصلی و ادامه تناوب نازک لایه‌های هماتیتی درون واحد موسکوویت شیست، ث: مرز گسله و متورق (زون برشی) نوار کانه‌زایی اصلی با گرانیت‌های میلونیتی شده (دید به سمت غرب)، ج: لایه‌ها و عدسی‌های شیستی و سنگ‌های رسوبی دگرگون شده، بین نوار کانه‌زایی اصلی و کانسنگ هماتیتی، چ: قطعات و سنگ‌های بیگانه درون نوار کانه‌زایی اصلی، خ: تصویر میکروسکوپی قطعات بیگانه بین کانسنگ هماتیتی نوار کانه‌زایی اصلی که تماماً از ذرات به هم فشرده کوارتز و کانی‌های کدر با حاشیه مضرسی تشکیل شده‌اند (XPL، درشت‌نمایی ۵۰X). Pph: واحد اسلیت و فلیت، Pm.sh: واحد موسکوویت - شیست، Pm.gr: واحد گرانیت میلونیتی شده، Pmb: واحد کربناته).



شکل ۵ الف: تصویر میکروسکوپ نور بازتابی، از کانسنگ هماتیتی، ذرات هماتیت با رنگ خاکستری روشن در میان ذرات آواری (PPL، درشتنمایی 100X)، ب: تصویر میکروسکوپی نور بازتابی، افزایش ذرات آواری (خاکستری تیره) در مرز نوار کانه‌زای اصلی با واحد موسکوویت شیست (PPL، درشتنمایی 100X)، پ: تصویر میکروسکوپی نور عبوری از نازک لایه‌های هماتیتی همراه با بلورهای موسکوویت درون واحد موسکوویت شیست (XPL، درشتنمایی 50X)، ت: تصویر میکروسکوپ نوری عبوری از نازک لایه‌های هماتیتی و همراهی آن با نوارهای موسکوویت درون واحد موسکوویت شیست (XPL، درشتنمایی 50X)، ث: تصویر میکروسکوپ نوری عبوری، همراهی بلورهای موسکوویت با ذرات هماتیت به صورت پراکنده در واحد موسکوویت شیست (XPL، درشتنمایی 50X)، ج: تصویر میکروسکوپ نور عبوری، وجود نازک لایه‌های هماتیتی و ذرات هماتیت پراکنده درون واحد موسکوویت شیست (XPL، درشتنمایی 50X). (Hem: هماتیت، Ms: موسکوویت، علائم اختصاری کانه‌ها از [۹].)

[۲۵]. میزان عناصر وانادیوم، تیتانیوم و آلومینیوم در اکسیدهای آهن موجود در کانسارهای ماگمایی و گرمابی، بسیار بیشتر از کانسارهای آهن نواری است [۲۶]. گرمابی‌هایی با ترکیبات متفاوت، سرشت شیمیایی اکسیدهای آهن را کنترل می‌کنند در نتیجه عناصر شرکت کننده در ساختار اکسیدهای آهن می‌توانند متفاوت باشند این نتایج جدید از خاستگاه آهن را در کانسارهای آهن نواری، وابسته به فعالیتهای آتشفسانی زیر دریایی نشان می‌دهد [۲۷]. در گدازه‌های سولفیدی و در آغاز تبلور، غلظت عناصر لیتوفیل در اکسیدهای آهن بیشتر است و با کاهش دما در مراحل آخر تبلور به تدریج غلظت این عناصر کاهش یابد، ولی در گدازه‌های سیلیکاتی و در انتهای تبلور، غلظت عناصر ناسازگار مانند تیتانیوم افزایش می‌یابد [۲۸]. دوبویس و بیودوین [۱۰] بر پایه بررسی‌های ریزپردازندۀ الکترونی روی کانی‌های هماتیت و مگنتیت، انواع ذخایر آهن را در نمودارهای مختلف از یکدیگر تقسیم کردند. با توجه به اینکه کانه اصلی کانسار آهن ده‌زمان را هماتیت اولیه تشکیل داده است، می‌توان با تجزیه هماتیت و بدست آوردن شیمی این کانی با ریزپردازندۀ الکترونی و استفاده از نمودارهای تعیین کننده، نوع کانسار و محیط تشکیل کانسنگ را مشخص کرد. بر اساس بررسی‌های [۱۰] می‌توان از نمودار $V + Ti + Ca + Mn$ در مقابل $Al + Ca + Mn$ برای جدایش کانسارهای کایرون، اسکارنی، IOCG و BIF استفاده کرد. در این پژوهش کانسارهای آهن نواری (BIF) با سرشتی مقادیر کم عناصر Ti, V, Al و Ca و Mn کمتر از ۱٪ درصد وزنی، از کانسارهای دیگر آهن ماگمایی متمایز می‌شوند [۱۰]. بررسی‌های ریزپردازندۀ الکترونی روی کانه اصلی (هماتیت) کانسار آهن ده‌زمان از بخش‌های مختلف نوار کانه‌زایی اصلی و نیز برخوردگاههای این نوار با سنگ درون‌گیر و از نازک‌لايه‌های هماتیتی صورت گرفت. نتایج این بررسی‌ها در جدول‌های ۱ و ۲ نشان داده شده‌اند. دامنه‌ی مقدار عناصر، تیتان بین ۰ تا ۲ نشان داده شده‌اند. دامنه‌ی مقدار عناصر، تیتان بین ۰ تا ۴٪ درصد، وانادیوم بین ۰ تا ۴٪ درصد، کلسیم بین ۰ تا ۲٪ درصد، آلومینیوم بین ۰ تا ۱٪ درصد و منگنز بین ۰ تا ۲٪ درصد است (جدول ۱). همچنین مقادیر $Ti + V$ بین ۰ تا ۲٪ درصد، $Al + Ca + Mn$ بین ۰ تا ۵٪ درصد و $Al + Ca + Mn$ بین ۰ تا ۱٪ درصد برای نمونه‌های کانسنگ هماتیتی کانسار آهن ده‌زمان است که در نمودار $V + Ti + Ca + Mn$ [۱۰] می‌تواند نسبت به این عناصر مقادیر عناصر ریزپردازش شده در این نمونه‌ها، در گستره مشخص شده برای کانسارهای آهن نواری قرار گرفت (شکل ۶).

همراهی بلورهای موسکوویت با ذرات هماتیت، و نیز تمرکز موسکوویتها به صورت نوار در کنار نازک لایه‌های هماتیتی (شکل ۵ ت و ث) ممکن است به علت رسوب همزمان آهن و ذرات آواری سیلت و رس باشد. حمل آهن کلوئیدی به‌وسیله‌ی ذرات آواری سیلت و رس از مناطق عمیق به سمت مناطق کم‌عمق و رسوب این ذرات کلوئیدی در سواحل نیز می‌تواند علت وجود بلورهای موسکوویت را در کنار ذرات آهن توضیح دهد. ذرات آواری و یا ذرات کلوئیدی سیلت و رس طی سنج‌زایی و دگرگونی‌های بعدی، به بلورهای موسکوویت تبدیل شده‌اند (شکل ۵ ج).

شیمی کانسنگ هماتیتی

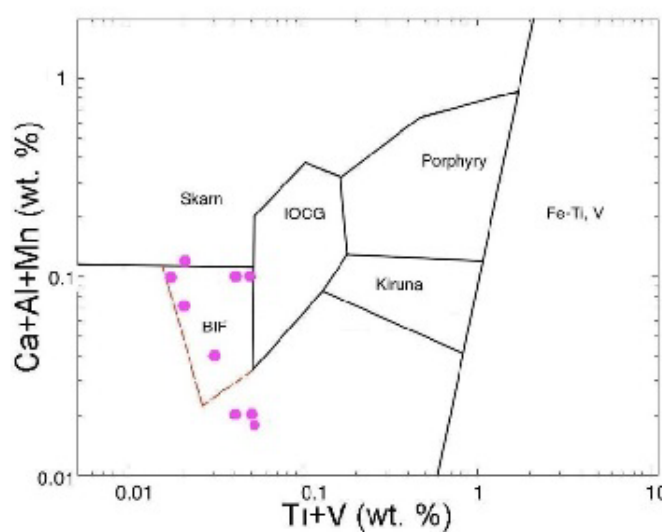
کانی‌های مگنتیت و هماتیت مواد معدنی رایج در طیف گسترده‌ای از انواع کانسارها هستند [۱۰]. شیمی کانی‌های اکسید آهن تابع تغییرات شیمیایی محیط تشکیل این کانی‌ها و محلول‌های کانه‌دار است [۱۱-۱۵]. دامنه‌ی تغییرات در شرایط فیزیکوشیمیایی محیط‌های کانساری در طول شکل‌گیری یک کانسار، احتمالاً شیمی اکسید آهن در کانسارهای مختلف ترکیب شیمیایی اکسید آهن را نیز کنترل می‌کند به طوری که کانی‌های اکسید آهن در نتیجه این سرشتی‌های شیمیایی اکسید آهن می‌تواند برای تعیین نوع و خاستگاه کانسار به کار رود [۱۶-۱۸]. بررسی شیمی اکسیدهای اصلی آهن از جمله بررسی‌های دقیقی است که در کانسارهای مهم دنیا به منظور تعیین خاستگاه انواع کانسارهای آهن (کایرون، اسکارنی، IOCG و BIF) انجام می‌گیرد [۱۹-۲۰]. به عنوان مثال میزان پایین عناصر وانادیوم و تیتانیوم در کانسارهای اسکارن و BIF نسبت به کانسارهای ماگمایی نشان دهنده‌ی تغییرات در شیمی محلول‌های کانه‌ساز است [۲۱]. تعدادی از عوامل موثر و حاکم بر تغییرات شیمی اکسیدهای آهن در محلول‌های کانه‌دار شامل دما، ترکیب شیمیایی محلول‌ها، گریزندگی اکسیژن و گوگرد، فعالیت سیلیکات‌ها و سولفیدها و شعاع یونی عناصر هستند [۲۲]. تغییرات جزئی غلظت عناصر کمیاب در یک دامنه‌ی مگنتیت در نمونه‌های مختلف، و نیز در دامنه‌های مختلف یک نمونه وجود دارد که احتمالاً نشان دهنده‌ی نایکتواختی محلول‌های کانه‌دار است [۲۳]. بررسی عناصر جزئی به روش تجزیه‌ی نقطه‌ای و ریز پردازندۀ الکترونی، می‌تواند در تعیین شیمی اکسیدهای آهن مورد استفاده قرار گیرد [۲۴]. تغییرات عناصر منیزیوم، وانادیوم، کبات و منگنز در اکسیدهای آهن، ارتباط مستقیمی با دمای محلول‌های کانه‌دار دارد و در دماهای بالا تغییرات این عناصر بیشتر می‌شود.

جدول ۱ نتایج بررسی ریزپردازشی الکترونی روی کانی هماتیت، در نمونه‌های نوار کانه‌زایی اصلی کانسار آهن دهzman و میانگین بررسی ریزپردازشی کانی هماتیت، از برخی کانسارهای آهن نواری [۱۰] (عناصر بر حسب درصد وزنی).

عناصر	۷۷/۱	۷۷/۲	۷۲/۱	۷۲/۲	۳۵/۱	۳۵/۲	۸۸/۱	۸۸/۲	۷۶/۱	۷۶/۲	۳۳/۱	۳۳/۲	AV.DZ	BIF
Si	۰,۰۲۲	۰,۴۱	۰,۰۱۴	۰,۰۴	۰,۰۲۳	۰,۱۲	۰	۰,۰۲	۰,۰۲۸	۰,۰۲۸	۰,۰۱۴	۰,۰۳۴	۰,۰۵۵	۰,۱۳
Al	۰	۰	۰	۰,۰۰۵	۰,۰۵۸	۰,۰۲۱	۰,۱۱	۰,۱	۰	۰,۱۱	۰,۰۷۹	۰,۰۳۲	۰,۰۳	
Mn	۰	۰	۰	۰	۰,۰۰۷	۰	۰	۰	۰	۰,۰۲۳	۰,۰۰۷	۰,۰۱۹	۰,۰۱۸	
Mg	۰,۰۴۸	۰,۸۳	۰,۰۳۶	۰,۰۵۴	۰,۱۱	۰,۱۸	۰	۰,۰۰۶	۰,۱۳	۰,۰۸۴	۰	۰	۰,۱۱۶	۰,۰۱۳
Ti	۰	۰,۰۶	۰,۰۰۶	۰,۰۴	۰,۰۲۴	۰,۰۳۶	۰,۰۰۶	۰,۰۱	۰,۰۲۶	۰,۰۳۶	۰,۰۲	۰,۰۱	۰,۰۷۴	۰,۰۱۴
V	۰	۰	۰	۰,۰۲۷	۰,۰۰۹	۰	۰,۰۰۴۴	۰,۰۳	۰,۰۶	۰,۰۳۳	۰,۰۲	۰,۰۱	۰,۰۱۹	۰,۰۱۵
Cr	۰	۰,۰۰۷	۰	۰,۰۰۷	۰	۰	۰	۰	۰	۰,۰۳۱	۰	۰,۰۰۴	۰,۰۲۱	
Cu	۰	۰	۰,۰۲	۰	۰,۱	۰	۰	۰	۰	۰	۰,۰۱	۰,۰۱۲	۰,۰۳۱	
Ni	۰	۰	۰	۰	۰	۰,۰۱	۰	۰	۰	۰,۰۱	۰	۰	۰,۰۰۲	۰,۰۲۹
Ca	۰	۰,۰۲۱	۰,۰۰۷	۰	۰,۰۰۷	۰,۰۲۱	۰,۰۰۷	۰,۰۷	۰,۰۵۷	۰	۰,۰۰۷	۰,۰۰۹	۰,۰۰۹	
K	۰,۰۰۸	۰	۰	۰,۰۰۸	۰	۰	۰	۰	۰,۰۵۸	۰,۰۱۶	۰,۰۳۳	۰,۰۱۲	۰,۰۰۳	

جدول ۲ نتایج آنالیز ریزپردازشی الکترونی اکسیدهای عناصر اصلی روی کانی هماتیت، در نمونه‌های نوار کانه‌زایی اصلی کانسار آهن دهzman و میانگین اکسیدهای اصلی برخی از کانسارهای BIF [۱۰] (اکسیدهای اصلی بر حسب درصد وزنی).

Major element Wt%	۸۸	۳۵	۷۷	۷۲	۷۶	BIF [%]
SiO ₂	۰	۰,۰۵	۰,۸	۰,۰۱	۰,۰۶	۰,۲۷
TiO ₂	۰,۰۱	۰,۰۴	۰,۰۴	۰,۰۵	۰,۴	۰,۰۱۴
Al ₂ O ₃	۰,۲۲	۰,۱۱	۰	۰,۰۱	۰	۰,۰۵
Fe ₂ O ₃	۱۰۰,۶۳	۱۰۰,۵۳	۹۸,۷۴	۹۹,۹۲	۹۹,۴۳	۸۶
MnO	۰	۰,۰۱	۰	۰	۰	۰,۰۱۲
MgO	۰	۰,۱۹	۰	۰,۰۹	۰,۲۲	۰,۰۱۶
CaO	۰,۰۱	۰,۰۱	۰	۰	۰,۰۸	۰,۰۱
Na ₂ O	۰	۰	۰,۰۸	۰,۰۳	۰	۰,۰۰۱
K ₂ O	۰	۰,۰۱	۰,۰۱	۰	۰	۰,۰۰۳
Total	۱۰۰,۹۵	۱۰۱,۱۸	۹۹,۰۲	۱۰۰,۱۹	۱۰۰,۳۳	-



شکل ۶ نمودار $Ti+V$ نسبت به $Ca+Al+Mn$ برای جدایش انواع کانسارهای آهن بر اساس بررسی ریزپردازشی الکترونی [۱۰] و قرارگیری نمونه‌های کانسنگ هماتیتی کانسار آهن دهzman در گستره‌ی کانسارهای آهن نواری (BIF).

آلگوما متفاوت است. در این کانسارها، بسته به شرایط متفاوت دریاهای آرکئن، محلول‌های کانه‌دار در اعمق مختلف تنه‌نشین شده‌اند که ممکن است همین ته‌نشینی سبب تشکیل تناوب لایه‌های چرت و ژاسپر همراه با نواهای مگنتیت و هماتیت در این کانسارها باشد. در نمودار عنکبوتی اکسیدهای اصلی، کانسارهای آهن نواری، رسوب‌های شیمیابی غیر معمولی هستند که میزان Fe (۲۰ تا ۴۰ درصد وزنی) و SiO_2 (۳۴ تا ۵۶ درصد وزنی) در آن‌ها نسبت به اکسیدهای رسوب‌های شیمیابی دیگر بسیار بالاتر است [۳]. این تفاوت در میزان اکسیدهای اصلی در بررسی ریزپردازشی الکترونی بر روی کانی‌های اکسید آهن از انواع کانسارهای آهن نواری نیز در گستره Fe (۸۶ تا ۹۹ درصد وزنی) و SiO_2 (۰,۱ تا ۰,۱ درصد وزنی) صدق می‌کند. مقادیر اکسیدهای اصلی در کانسنگ هماتیتی کانسار آهن دهzman با کانسارهای آهن نواری Fe_2O_3 (BIF) مقایسه شد (شکل ۸). شباهت‌ها در میزان Al_2O_3 و TiO_2 و اکسیدهای اصلی دیگر در منحنی کانسارهای آهن نواری (BIF) و منحنی‌های نمونه‌های کانسنگ هماتیتی کانسار آهن دهzman مشاهده می‌شود. تهی‌شدگی در اکسیدهای MnO ، MgO ، K_2O ژئوشیمیابی کانسارهای آهن نواری نوع راپیتان است [۲۹]. کانسارهای نوع آلگوما و سوپرپیور که در بازه‌ی زمانی آرکئن و پالپورپروزوئیک تشکیل شده‌اند، تهی‌شدگی کمتری نسبت به کانسارهای آهن رسوبی نوع راپیتان و BIF های نثوپرپروزوئیک نقاط دیگر جهان که در بازه‌ی زمانی نثوپرپروزوئیک (۷۳۰ تا ۸۰۰ میلیون سال) تشکیل شده‌اند، نشان می‌دهند [۳].

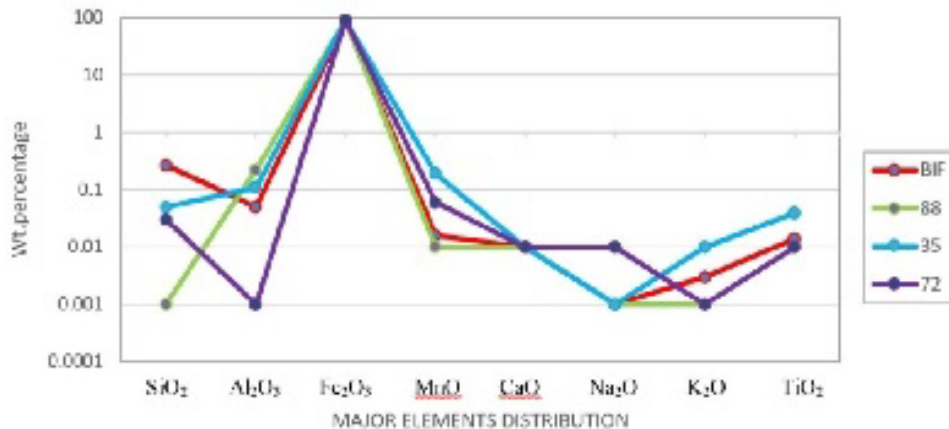
بحث و برداشت

در جدول ۳ برخی از سرنشی‌های زمین‌شناسی کانسارهای آهن نواری با ویژگی‌های کانسار آهن دهzman مقایسه شده است. همراهی سنگ‌های آواری و یخچالی (دیامکتایت‌ها و میکستایت‌ها) که در محیط‌های دریابی و پلاتفرم‌های کم عمق تشکیل شده‌اند یکی از سرنشی‌های آشکار کانسارهای آهن نواری نوع راپیتان است. کانه‌زایی در کانسار دهzman نیز در واقع متتشکل از یک لایه ضخیم هماتیتی و تناوبی از نازک لایه‌های هماتیتی با میان لایه‌های شیستی است که در انتهای واحد موسکوویت شیست‌های تیره قرار گرفته‌اند. موسکوویت شیست‌ها و میکاشیست‌ها در این واحد بیشتر از ذرات کوارتز، فلدسپار پتاسیم، موسکوویت، بیوتیت، و ذرات هماتیت تشکیل شده‌اند.

سرنشی این کانسارها میزان پایین Ti تا ۰,۰۱ درصد وزنی نسبت به کانسارهای دیگر کایرونا، اسکارنی و IOCG است [۱۰]. نقاط ۷۲ و ۷۷ کمی با فاصله و در زیر گسترده کانسارهای آهن نواری جای گرفته‌اند که این می‌تواند به دلیل تفاوت‌های اندک ژئوشیمیابی در انواع متفاوت کانسارهای آهن نواری (آلگوما، سوپرپیور، راپیتان) باشد. در نمودارهای عنکبوتی، Si, Al, Mn, Mg, Ti, V, Cr, Cu, Ni, Ca, K ویژگی‌های شیمیابی اکسیدهای آهن را در انواع کانسارها و نیز کانسارهای آهن نواری نشان می‌دهد [۱۰]. به همین دلیل میانگین این عناصر در کانسنگ هماتیتی کانسار آهن دهzman با میانگین مقادیر کانسارهای دیگر آهن نواری روی نمودار عنکبوتی مقایسه شده است (شکل ۷). مقادیر این عناصر برای منحنی کانسارهای آهن نواری (BIF) از میانگین ترکیب شیمیابی اکسیدهای آهن در انواع کانسارهای آهن نواری استفاده شده در پژوهش‌های [۱۰] به دست آمده‌اند. همخوانی عناصر V, Al, Mn, Ca و Mg با میانگین کانسار آهن نواری است [۳]. در این نمودار عناصر Mg و Ti منحنی کانسنگ هماتیتی کانسار آهن دهzman تا میزان ۰,۱ درصد وزنی و K تا ۰,۰۱ درصد وزنی نسبت به منحنی BIF (۰,۰۱ درصد وزنی) غنی‌شدگی، و در عناصر Cr, Cu, Ni از ۰,۰۴ تا ۰,۰۱ درصد وزنی تهی‌شدگی نشان می‌دهد. این تغییرات می‌توانند به علت نوسان‌های شیمیابی آب اقیانوس‌ها و تغییر شرایط رسوب‌گذاری در زمان نثوپرپروزوئیک ایران و یا تفاوت در شیمی محلول‌های کانه‌دار باشد. قطعاً برخی از این تغییرات شیمیابی نیز، به رخدادهای دگرگونی پس از کانه‌زایی مربوط می‌شود. تهی‌شدگی ناچیز Si نیز رسوب آهن را در مناطق کم‌عمق و با فاصله از خاستگاه محلول‌های کانه‌دار قوت می‌بخشد. سیلیس به صورت ذرات آواری (کوارتز) با خاستگاه خارج از حوضه، در اعمق کم حضور دارد. همچنین در اکسیدان و pH نزدیک به خنثی در مناطق کم عمق ساحلی، وجود سیلیکا به صورت محلول و یا ژلهای سیلیسی مورد انتظار نیست، و محلول‌های کانه‌دار غنی از سیلیس در اعمق بیشتر؛ جایی که شرایط Eh و pH مناسب‌تر است، سیلیس به صورت چرت و یا ژاسپر دیده می‌شود. در نتیجه، در مناطق کم عمق و ساحلی میزان سیلیس در محلول‌های کانه‌دار غنی از آهن، پایین است. این فرایند برای کانسارهای آهن نواری نوع



شکل ۷ نمودار عنکبوتی عناصر جزئی اکسیدهای آهن در کانسارهای آهن نواری (BIF) [۱۰] و مقایسه آن با منحنی کانسنگ هماتیتی کانسار آهن ده‌زمان.



شکل ۸ نمودار عنکبوتی اکسیدهای اصلی برای کانی‌های اکسیدی آهن در کانسارهای آهن نواری (BIF) [۱۰] و مقایسه آن با نمونه‌های کانسنگ هماتیتی کانسار آهن ده‌زمان.

آهن نواری، پس از انواع سوپرپور تشکیل شده‌اند. کانسار آهن ده‌زمان نیز با توجه به موقعیت چینهای و هم ارز بودن واحدهای سنگی درونگیر با سنگ‌های نئوپروتروزوفیک ایران، دارای سن نسبی در بازه زمانی نئوپروتروزوفیک است (جدول ۳). تنها رخساره‌ی موجود در کانسارهای آهن نواری نوع راپیتان بر خلاف انواع آلگوما و سوپرپور که از رخساره‌های مختلف تشکیل شده‌اند، رخساره‌ی اکسیدی است و حضور کانی هماتیت به صورت گستردۀ، حاکی از تشکیل این کانسارها در محیطی شدیداً اکسیدی است (جدول ۳).

از این رو پروتولیت اولیه‌ی این واحد را می‌توان به سنگ‌های روسوبی- آواری مانند ماسه‌سنگ‌های آهن‌دار و رس‌دار، شیل‌های ماسه‌ای آهن‌دار و لیتیک‌آرنایت کدر وابسته دانست. وجود آثار لایه‌بندی و ساختارهای روسوبی مانند ریپل‌مارک‌ها در این واحد نیز تاییدی است بر روسوبی بودن پروتولیت اولیه‌ی این سنگ‌ها و نیز تشکیل آن‌ها در محیطی نزدیک به ساحل و تحت تاثیر امواج نشان می‌دهد. کانسارهای آهن نواری نوع راپیتان در بازه‌ی زمانی نئوپروتروزوفیک (۸۰۰ تا ۵۰۰ میلیون سال) و پس از یک وقفه نسبتاً زیاد در شکل‌گیری کانسارهای

جدول ۳ مقایسه مشخصات کانسارهای آهن نواری و ویژگی‌های کانسار آهن ده‌زمان.

مشخصات کانسار ده‌زمان	نوع راپیتان	نوع سوپریور	نوع آگوما
تحتگاه و سواحل پرکامبرین ایران مرکزی	تحتگاه‌ها و حاشیه‌های غیرفعال [۳۱]	[۲] بخش پایدارفلات قاره‌ای محیط تشکیل مناطق گسترش، حاشیه‌ی فعال قاره [۲]	
سنگ‌های رسوبی آواری دگرگون شده	سنگ‌های رسوبی یخچالی (دیامکتیت)، شیل، ماسه‌سنگ، کنگلومرا	[۲] شیل، سنگ‌های کربناته، کوارتزیت مجموعه‌ی سنگ‌های آتشفشاری، سنگ‌های رسوبی مناطق عمیق [۲-۱]	
شوپروتروزوئیک	۵۰۰ تا ۷۵۰ میلیون سال) [۳۱]	[۲] پالثوپروتروزوئیک میلیارد سال)	آرکئن [۲] سن
اکسید آهن هماتیتی-چرت [۳۱] [۳۲]	اکسید آهن هماتیتی-چرت [۱]	اکسیدی-کربناتی-سولفیدی-چرت [۱]	رخساره‌ها
احتمالاً سیالات کانه‌دار مرتبط با فعالیت آتشفشارهای زیر دریایی	سیالات گرمابی مرتبه با ریفت‌های میان اقیانوسی [۳۳-۳۲]	رسوبی شیمیایی یا بیوشیمیایی [۳۰]	آتشفشاری متصاعدی [۳۰] منشا آهن

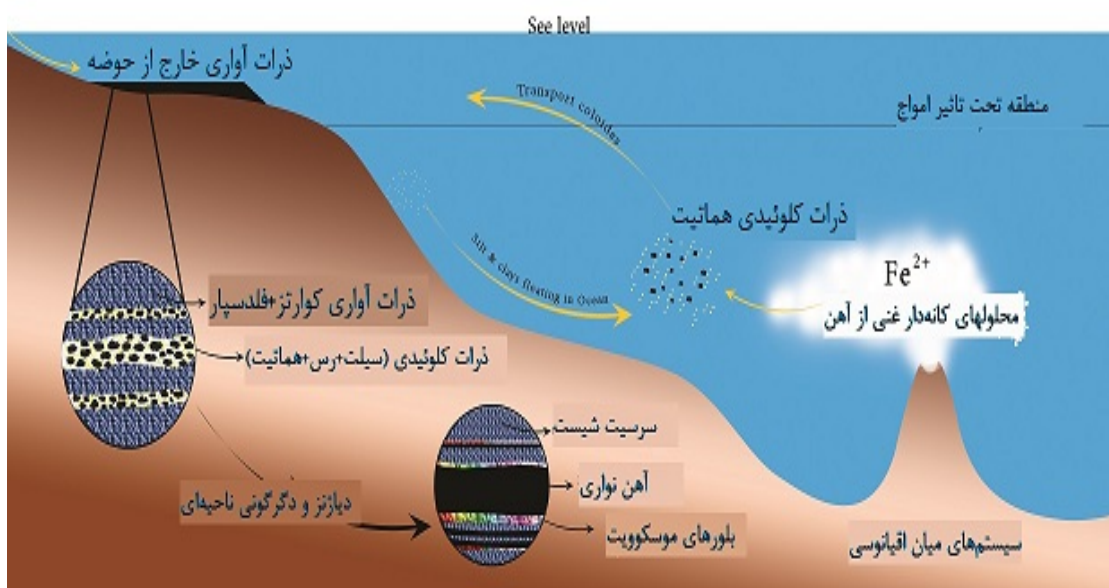
بررسی‌ها، روند عمومی منحنی کانسار آهن ده‌زمان با منحنی کانسارهای آهن نواری (BIF) همخوانی و هماهنگی معناداری نشان داد که مبنی بر وجود شرایط فیزیکوشیمیایی مشابه در تشکیل کانسار آهن ده‌زمان با کانسارهای دیگر آهن نواری است. در این نمودارها عناصر K, Mg و Ti نسبت به منحنی BIF غنی‌شدگی نشان می‌دهند که ممکن است به علت تغییر در شرایط رسوب‌گذاری کانسار آهن ده‌زمان و یا اختلاف در شیمی محلول‌های کانه‌دار باشد. برخی از این تغییرات شیمیایی نیز، به رخدادهای دگرگونی پس از کانه‌زایی وابسته می‌شود. شواهد ژئوشیمیایی و بررسی عناصر خاکی نادر در کانسارهای آهن نواری نوع راپیتان، خاستگاه آهن را گرمابهای وابسته به ریفت‌های میان اقیانوسی نشان داده است [۳]. در کانسار آهن ده‌زمان نیز شواهدی همچون تکرار و تناوب نازک لایه‌های هماتیتی درون واحد موسکوویت شیست می‌تواند حاکی از فعالیت‌های دوره‌ای مراکز تزریق محلول‌های کانه‌دار مانند بلک اسموکرها درون آب دریا باشد. همچنین، نوار کانه‌زایی اصلی با تغییرات کم عیار و ضخامت زیاد، فعالیت گستردۀ و خروج حجم عظیمی از محلول‌های کانه‌دار را نشان می‌دهد که می‌تواند تاییدی بر خاستگاه درون حوضه‌ای آهن و ناشی از

در کانسار آهن ده‌زمان نیز حضور یکپارچه‌ی کانسنگ هماتیتی حتی در عمق، تاییدی بر وجود رخساره‌ی اکسیدی و تشکیل کانسار در محیطی اکسایشی است. وجود مرز پیوسته و هم‌شیب میان نوار کانه‌زایی اصلی و واحد موسکوویت شیست، عدسی‌ها و لایه‌هایی از سنگ‌های شیستی درون نوار کانه‌زایی اصلی، و نیز ادامه‌دار بودن و تناوب نازک لایه‌های هماتیت درون واحد موسکوویت شیست می‌تواند از نشانه‌ها و شواهد صحرایی رسوب برون زاد و همزاد آهن به همراه ذرات آواری در محیط دریایی پر از ریز و کم عمق باشد.

در بررسی‌های ژئوشیمیایی و در تعیین نوع کانسارهای مختلف آهن، از نمودار $\text{Ca} + \text{Al} + \text{Mn}$ در مقابل $\text{Ti} + \text{V}$ توسط [۱۰] ارائه شد نیز، نتایج آنالیز ریزپردازندۀ الکترونی روی نمونه‌های هماتیتی برداشت شده از نوار کانه‌زایی اصلی کانسار آهن ده‌زمان، در گستره‌ی کانسارهای آهن نواری واقع شد. همچنین در بررسی نمودارهای عنکبوتی عناصر جزئی و اکسیدهای اصلی، که بیان کننده شرایط تشکیل و سرنشی‌های ژئوشیمیایی کانسارهای است، مقایسه‌ی منحنی نتایج آنالیز ریزپردازندۀ الکترونی روی کانسنگ هماتیتی کانسار آهن ده‌زمان با منحنی کانسارهای دیگر آهن نواری انجام شد. در این

ذوب بخها شده باشد. در بررسی‌های میکروسکوپی همراهی نازک لایه‌های هماتیتی با بلورهای کشیده‌ی مسکوویت، بافت ماسه‌سنگی و سیمان‌دار کانسنسنگ نوار کانه‌زایی اصلی و نیز افزایش ذرات کوارتز و فلدوپار (ذرات آواری) در نوار کانه‌زایی به سمت موسکوویت شیسته‌ها می‌تواند دلایلی بر رسوبر همزمان آهن به همراه ذرات سیلت و رس آواری باشد. وجود موسکوویت‌ها در کنار دانه‌های هماتیت می‌تواند شاهدی بر فرآیندهای حمل ذرات آهن به صورت کلوئیدی به وسیله‌ی ذرات آواری و معلق سیلت و رس از نواحی عمیق به سمت نواحی کم عمق باشد که انباست آن‌ها تحت تاثیر امواج در محیط‌های نزدیک به ساحل صورت می‌پذیرد. ذرات سیلت و رس در مراحل دگرگونی دفنی، دینامیکی (کاتاکلاستیک) و ناچیه‌ای که پس از کانه‌زایی، منطقه را تحت تاثیر قرار داده است به بلورهای کشیده و جهت یافته موسکوویت که همراه دانه‌ها و لایه‌های هماتیت دیده می‌شوند، تبدیل شده‌اند (شکل ۹). تهی شدگی از Si در نتایج بررسی‌های ریزپردازشی (شکل ۹). تهی شدگی از Si در نتایج بررسی‌های ریزپردازشی (شکل ۹). تهی شدگی از Si در نتایج بررسی‌های ریزپردازشی (شکل ۹). تهی شدگی از Si در نتایج بررسی‌های ریزپردازشی (شکل ۹). تهی شدگی از Si در نتایج بررسی‌های ریزپردازشی (شکل ۹).

محلول‌های کانه‌دار گرماب‌های خروجی بر اثر فعالیت‌های آتشفشنان‌های زیردریایی باشد. نبود دگرسانی در نوار کانه‌زایی و واحدهای سنگی اطراف، و نیز تغییرات کم عیار (حدود ۰.۳-۰.۵٪) در تمام طول و ضخامت منطقه‌ی کانی‌سازی شده را می‌توان از سرشتی‌های کانسارهای آهن نواری و رسوبر آهن در محیط دریایی در نظر گرفت. تزریق محلول‌های کانه‌دار به محیط آب دریا و طی مسافت زیاد، دلایل عدم وجود دگرسانی اختلاط با در سنگ‌های درونگیر کانسارهای آهن نواری به حساب می‌آید. در سیستم‌های آهن نواری نوع راپیتان وجود سنگ‌های بیگانه به همراه سنگ‌ها و رسوبرهای یخچالی، شاخصه تشکیل این کانسارها در دوره‌های یخچالی و بین یخچالی است [۳۴]. وجود قطعه سنگ‌های بیگانه در بخش‌هایی از نوار کانه‌زایی اصلی کانسار آهن دهzman را نیز می‌توان با سنگ‌های بیگانه در رسوبرهای یخچالی و فرآیندهای حمل این قطعات به وسیله بلوک‌های یخ شناور مقایسه کرد. رها شدن این سنگ‌های بلوک‌های یخی شناور در سطح دریا به درون نوار کانه‌زایی در زمان شکل‌گیری، نشان می‌دهد کانه‌زایی، بین دو دوره یخ‌بندان و در زمانی که اقیانوس‌ها در حال گرم شدن بودند، تشکیل شده است. چرخه‌های گرمایی درون گوشته نیز ممکن است با فعل کردن سیستم‌های میان اقیانوسی و تزریق آبگون‌های کانه‌دار درون اقیانوس‌ها، باعث گرم شدن اقیانوس‌ها و



شکل ۹ ارائه‌ی مدل کانسار آهن دهzman و حمل کلوئیدی آهن به‌وسیله‌ی ذرات سیلت و رس آواری.

- [4] Halverson G.P., Poitrasson F., Hoffman P.F., Nédélec A., Montel J.M., Kirby J., "Fe isotope and trace element geochemistry of the Neoproterozoic syn-glacial Rapitan iron formation", *Earth and Planetary Science Letters* 309 (2011) 100–112.
- [۵] آقاباتی س.ع., "زمین‌شناسی ایران", سازمان زمین‌شناسی و اکتشافات معدنی کشور (۱۳۸۳) ۵۸۳ ص.
- [۶] سهندی م.ر., قاسمی م.ر., و اختیارآبادی م., "نقشه زمین‌شناسی ۱:۱۰۰۰۰۰ قاسم‌آباد", سازمان زمین‌شناسی و اکتشافات معدنی کشور (۱۳۶۲).
- [7] Rossetti F., Nozaem R., Lucci F., Vignaroli G., Gerdes A., Nasrabadi M., Theye T., "Tectonic setting and geochronology of the Cadomian (Ediacaran-Cambrian) magmatism in Central Iran, Kuh-e-Sarhangi region (NW Lut Block)", *Asian Earth Sciences* 102 (2015) 24-44.
- [8] Momenzadeh M., Wauschkuhn A., "The Allahabad Fe Deposit, an Example of Fe, Pb, and Turquoise Occurrences in the Zeber kuh Sarhangi mountains, SW Kashmar, NE Iran", *N.Jb. Geol. Palaont. Abh.* 168(2/3) (1984) 490-496.
- [9] Whitney D.L., Evans B.W., "Abbreviations for names of rock-forming minerals", *American Mineralogist* 95 (2010) 185-187.
- [10] Dupuis C., Beaudoin G., "Discriminant diagrams for iron oxide trace element fingerprinting of mineral deposit types", *Mineralium Deposita* 46 (2011) 319-335.
- [11] Hutton C.O., "Studies of heavy detrital minerals", *Geological Society of America Bulletin* 61(1950) 635-713.
- [12] Buddington A.F., Lindsley D.H., "Iron-titanium oxide minerals and synthetic equivalents", *Journal of Petrology* 5 (1964) 310–357.
- [13] Scheka S.A., Platkov A.V., Vezhosek A.A., Levashov G.B., Oktyabrsky R.A., "The trace element paragenesis of magnetite", *Nauka*, Moscow (1980) 147.
- [14] Razjigaeva N.G., Naumova V.V., "Trace element composition of detrital magnetite from coastal sediments of Northwestern Japan Sea for

ژلهای سیلیسی در ژرفای بیشتر با Eh و pH مناسب از محلول‌های کانه‌دار جدا شده و به صورت چرت رسوب گردیدند. به این دلیل لایه‌های چرتی در محل کانسار که نوار کانه‌زای همراه با سنگ‌های دگرگون شده‌ی رسوبی مناطق کم‌عمق (واحد موسکوویت شیسته‌های تیره آهن دار)، رخمنون دارد، به صورت شاخص دیده نمی‌شوند. محلول‌های غنی از آهن پس از جدایش سیلیس و با فاصله از خاستگاه در مناطق نزدیک به ساحل و محیطی شدیداً اکسیدان، همچنین حمل کلوئیدی ذرات آهن به حوضه ته نشین شده‌اند. همچنین حمل کلوئیدی ذرات آهن به گستره‌ی کشندی دریا و تحت تاثیر امواج، می‌تواند موجب جدایش محلول‌های آهن‌دار از ژلهای سیلیسی شده باشد. در نتیجه محلول‌های سیلیسی در نواحی عمیق‌تر و ساکن‌تر رسوب کرده و انباست آهن با فاصله و در محیط‌های پر انرژی‌تر صورت گرفته است. حذف و عدم وجود لایه‌های چرتی در کانسار آهن ده‌زمان که یکی از سرنشی‌های کانسارهای دیگر آهن نواری جهان است نیز می‌تواند به دلیل چنین پدیده‌ای باشد.

قدرتانی

این پروژه با حمایت مالی دانشگاه فردوسی مشهد در ارتباط با طرح پژوهشی شماره ۹۳/۳۱۸۴۴ مورخ ۱۳/۶/۱ انجام شده است. نویسنده‌گان از حمایت‌های سازمان ایمیدرو و مرکز تحقیقات و فرآوری مواد معدنی ایران به دلیل انجام آنالیزهای ریزپردازنده الکترونی تشکر می‌کنند.

مراجع

- [۱] شهاب‌پور ج., "زمین‌شناسی اقتصادی", انتشارات دانشگاه شهرید باهنر کرمان (۱۳۹۰) ۵۴۷ ص.
- [۲] کریم‌پور م.ح., و سعادت س., "زمین‌شناسی اقتصادی کاربردی", دانشگاه فردوسی مشهد (۱۳۸۱) ۵۳۵ ص.
- [3] Klein C., "Some Precambrian banded iron-formations (BIFs) from around the world: Their age, geologic setting, mineralogy, metamorphism, geochemistry, and origin", *American Mineralogist* 90 (2005) 1473-1499.

- Tianshan Orogenic Belt, NW china", Acta Geologica sinica* 88 (2014) 176-195.
- [24] Beaudoin G., Dupuis C., "Iron-oxide trace element fingerprinting of mineral deposit types. In: Corriveau L, Mumin AH (eds) Exploring for iron oxide copper-gold deposits: Canada and global Analogues", GAC Short Course Notes, (2009) 107-121.
- [25] Nadoll P., Mauk J.L., Hayes T.S., Koenig A.E., Box S.E., "Geochemistry of magnetite from hydrothermal ore deposits and host rocks of the Mesoproterozoic Belt Supergroup, United States", Economic Geology 107 (2012) 1275-1292.
- [26] Chen W.T., Zhou M.-F., Li X., Gao J.-F., Hou K., "In-situ LA-ICP-MS trace elemental analyses of magnetite: the Khetri copper belt in Rajasthan province, NW India", Ore Geology Review 65 (2015) 929-939.
- [27] Chung D., Zhou M.-F., Gao J.-F., Chen W.T., "In-situ LA-ICP-MS trace elemental analyses of magnetite: the late Palaeoproterozoic Sokoman Iron Formation in the Labrador Trough, Canada", Ore Geology Review 65 (2015) 917-928.
- [28] Dare S.A.S., Barnes S.J., Beaudoin G., "Variation in trace element content of magnetite crystallized from a fractionating sulfide liquid, Sudbury, Canada: Implications for provenance discrimination", Geochimica et cosmochimica Acta 88 (2012) 27-50.
- [29] Klein C., Beukes N.J., "Sedimentology and Geochemistry of the Glaciogenic Late Proterozoic Rapitan Iron Formation in Canada", Economic Geology 88 (1993) 542-565.
- [30] Bayley R.W., James H.L., "Precambrian iron-formations of the United States", Economic Geology 68 (1973) 934-959.
- [31] James H.L., "Precambrian Iron-formation: Nature, Origin, and Mineralogic Evolution from Sedimentary to Metamorphism", In: Wolf, K.H., Chiligrarian, C.V. (Eds.), Developments in Sedimentology 47 (1992) 543-589.
- [32] Yeo G.M., "Iron-formation in the late Proterozoic Rapitan Group, Yukon and Northwest Territories", In: Morin, J.A. (Ed.), Mineral provenance study", Journal of Sedimentary Petrology 62 (1992) 802-809.
- [15] Deer W.A., Howie R.A., Zussman J., "An introduction to rock-forming minerals", 2nd edn. Longman, Harlow, Wiley, New York (1992).
- [16] Carew M.J., "Controls on Cu-Au mineralisation and Fe oxide metasomatism in the Eastern Fold Belt, N.W. Queensland, Australia", Unpublished Ph.D. thesis, James Cook University (2004).
- [17] Gosselin P., Beaudoin G., Jébrak M., "Application of the geochemical signature of iron oxides to mineral exploration", GAC-MAC Annual Meeting Prog Abs 31, CD-ROM(2006).
- [18] Beaudoin G., Dupuis C., Gosselin P., Jébrak M., "Mineral chemistry of iron oxides: application to mineral exploration", In: Andrew CJ, Ninth Biennial SGA meeting. SGA, Dublin, (2007) 497-500.
- [19] Huang X.W., Zhou M.-F., Qiu Y.-Z., Qi L., "In-situ LA-ICP-MS trace elemental analyses of magnetite: The Bayan Obo Fe-REE-Nb deposit, North China", Ore Geology Review 65 (2015) 884-899.
- [20] Steadman J.A., Largea R.R., Davidson G.J., Bull S.W., Thompson J., Ireland T.R., Holden P., "Paragenesis and composition of ore minerals in the Randalls BIF-hosted gold deposits, Yilgarn Craton, Western Australia: Implications for the timing of deposit formation and constraints on gold sources", Elsevier, Precambrian Research 243 (2014) 110-132.
- [21] Huang X.W., Zhou M.-F., Qi L., Gao J.-F., Wang Y.-W., "Re-Os isotopic ages of pyrite and chemical composition of magnetite from the Cihai magmatic-hydrothermal Fe deposit, NW China", Mineralium Deposita 48 (2013) 925-946.
- [22] Nadoll P., Angerer T., Mauk J.L., French D., Walshe J., "The Chemistry of hydrothermal magnetite: A review", Ore Geology Reviews 61 (2014) 1-32.
- [23] Huang X.W., Qi L., Yumiao M., "Trace Element Geochemistry of magnetite from the Fe (-Cu) Deposits in the Hami Region, Eastern

[34] Baldwin G.J., Turner E.C., Kamber B.S., "A new depositional model for glaciogenic Neoproterozoic iron formation: insights from the chemostratigraphy and basin configuration of the Rapitan iron formation", Earth Sciences 49 (2012) 455-476.

Deposits of the Northern Cordillera, Canadian Institute of Mining Metallurgy 37 (1986) 142–158.

[33] Klein C., Beukes N.J., "Proterozoic Iron-formations", In: Condé, K.C. (Ed.), Development in Precambrian Geology: Proterozoic crustal, evolution 10 (1993) 383–418.